



УДК 577.143.7:577.243.7:577.452.277'445:577.315'445

**КОМПЛЕКСООБРАЗОВАНИЕ ОДНОЦЕПОЧЕЧНОЙ ФАГОВОЙ ДНК
С СИНТЕТИЧЕСКИМИ ОЛИГОДЕЗОКСИНУКЛЕОТИДАМИ
И ВЗАИМОДЕЙСТВИЕ КОМПЛЕКСОВ С ДНК-ПОЛИМЕРАЗой
И ЭНДОНУКЛЕАЗАМИ РЕСТРИКЦИИ****Титова Г. Р., Виноградов С. В., Берлин Ю. А.**Институт биоорганической химии им. М. М. Шемякина
Академии наук СССР, Москва*

Рассмотрено влияние температуры, ионной силы, длины и молярного избытка олигонуклеотида и вторичной структуры ОЦ ДНК на ее гибридизацию с олигонуклеотидами. Обнаружена возможность ДНК-полимеразной достройки составного праймера, образуемого двумя стыкующимися фрагментами, которые по отдельности не достраиваются. Изучено взаимодействие эндонуклеаз рестрикции *Bam*HI и *Msp*I с комплементарным комплексом ОЦ ДНК — олигонуклеотид и показана возможность избирательного *Bam*HI-расщепления ДНК в составе такого комплекса.

Дуплексы, включающие одноцепочечную нуклеиновую кислоту и комплементарный ей (полностью или частично) олигонуклеотид, находят широкое применение для направленного мутагенеза и коррекций мутаций, выяснения первичной структуры ДНК, получения κ ДНК [1—10]. Нас интересовала возможность использования таких дуплексов для изучения механизма действия эндонуклеаз рестрикции и для направленной фрагментации одноцепочечной ДНК с помощью этих ферментов. Сведения о физико-химических свойствах подобных дуплексов, в частности об их стабильности, довольно скудны, а об использовании эндонуклеаз рестрикции для фрагментации одноцепочечных ДНК в таких комплексах до последнего времени не было сведений (лишь недавно опубликован изыскательский подход к решению этой проблемы [11, 12]); в ряде работ с помощью комплементарных олигонуклеотидов осуществлена направленная химическая фрагментация ДНК [13, 14].

В качестве одноцепочечной ДНК мы использовали ДНК нитчатого фага M13mp2, содержащую проксимальный участок лактозного оперона *E. coli* [15]. Вторым компонентом системы служил один из синтетических олигонуклеотидов (I) — (IX), комплементарных фаговой ДНК в участках A—G (см. рис. 1) и содержащих *Msp*I-, *Bam*HI- или *Eco*RI-сайт.

Прежде всего мы проанализировали гибридизацию додекануклеотида TTATCCGGTATT (I), комплементарного сегменту 3366—3377 в составе участка A одноцепочечной ДНК. Для этого $5'$ - 32 P-фосфорилированный додекануклеотид (I) гибридизовали с одноцепочечной ДНК в условиях различной ионной силы, температуры и соотношения олигонуклеотид — ДНК, комплекс ОЦ ДНК — додекануклеотид (I) вместе со свободной ДНК отделяли от избытка нуклеотида гель-фильтрацией и по радиоактивности высокомолекулярной фракции судили о степени гибридизации. Полученные данные приведены в таблице.

Естественная тенденция к повышению степени связывания при увеличении избытка лиганда и понижении температуры привела к тому, что при 4°C и 50-кратном избытке додекануклеотида (I) наблюдаемая степень гибридизации превышала 100%. Машинный анализ нуклеотидной последовательности показал, что кроме участка специфического связывания нуклеотида (I) ДНК M13mp2 содержит еще 25 участков частичной

* Префикс «d» (дезоксн) всюду опущен. ОЦ ДНК — одноцепочечная ДНК; РФ ДНК — репликативная форма ДНК, SSC — 0.15 M NaCl, 0.015 M Na-цитрат.

Гибридизация додекануклеотида (I) с ОЦ ДНК фага M13mp2 в 10 мМ трис-НСI, (рН 7,6), 10 мМ MgCl₂

Соотношение (I) : ДНК, моль/моль	t°, С	[NaCl], мМ	Радиоактивность высокомолекулярной фракции. (имп/мин) · 10 ⁻³		Степень гибридизации, %
			найдено	вычислено для комплекса 1 : 1	
5	4	—	9	62	15
50	4	—	22 000	860	>100
5	22	—	150	3600	4
10	22	—	330	3600	9
15	22	—	39	316	23
30	22	—	90	288	31
40	22	—	260	500	52
25	23	—	33	204	16
50	23	—	330	700	47
5	4	100	3	62	6
15	22	50	8	288	2,5
15	22	100	9	402	2
25	22	100	31	288	11
15	22	300	11	288	3
15	22	500	8	402	2

гибридизации (см., например, данные о том, что в растворах с высокой концентрацией соли ДНК нитчатых фагов сжимается в короткие палочки [16]).

Сходные результаты были получены при проведении гибридизации на нитроцеллюлозных фильтрах в условиях высокой ионной силы (6×SSC) и 30-кратного избытка меченого додекануклеотида (I). Так, при 4, 12 и 22° С степень гибридизации составляла 10, 5 и 2% (ср. таблицу). Предел термической устойчивости комплекса следует из того, что промывка фильтров при температуре выше 33° С удаляет практически всю радиоактивность.

Для изучения комплексообразования олигонуклеотидов с одноцепочечной ДНК мы использовали также элонгацию праймера в системе праймер — матрица под действием ДНК-полимеразы. Этот метод удобен тем, что он может иллюстрировать не только сам факт комплексообразования, но и его региоспецифичность. В простейшем варианте мы провели частичную достройку додекануклеотида (I) неполными наборами трифосфатов — СТР + ТТР и СТР + ТТР + АТР. Электрофоретическое разделение продуктов достроек показало, что, как и следовало ожидать, в первом случае додекануклеотид удлинится на два звена (СТ), а во втором — на четыре (СТАА).

Для подтверждения специфичности гибридизации и выяснения эффективности праймеров наряду с додекануклеотидом (I) в качестве праймера использовали олигонуклеотиды (II) — (V) длиной 8—14 звеньев, содержащие *Bam*HI-сайт (GGATCC) и комплементарные ДНК M13mp2 в районе этого сайта (Б, рис. 1). Продукты достройки анализировали в условиях секвенирования ДНК по Сенгеру [17]. Оказалось, что в то время как оба октануклеотида (II, III) и декануклеотид (IV) вообще не достраиваются, додекануклеотид (I) и тетрадекануклеотид (V) в таких же условиях образуют четкий набор продуктов элонгации (рис. 2; приведены результаты опытов с олигонуклеотидами (II—V)), т. е., в отличие от более коротких соединений, вещества (I) и (V) способны к образованию специфических и устойчивых комплексов с одноцепочечной ДНК.

Была изучена также элонгация 10- (VI) и 13-членника (VII), комплементарных участку В ДНК M13mp2, за исключением одного звена (рис. 1): соответствующие дуплексы содержат одну неканоническую пару (G·T), что создает возможность сайт-специфического мутагенеза с транзицией T → C и образованием нового *Eco*RI-сайта (GAATTT → GAATTС). Подобно описанному выше, 10-членник (VI) достроить не удалось, в то время как 13-членник (VII) достраивался. Полная элон-

гация этого праймера и последующее лигирование привели к репликативной форме фаговой ДНК, идентичной заведомому препарату по электрофоретическим свойствам и по набору фрагментов рестрикции (например, с эндонуклеазой *MspI*).

Следует особенно отметить результаты, полученные при элонгации декануклеотидов GACGGCCAGT (VIII) и GTTGTA AAAAC (IX), совместно комплементарных 20-членному участку ДНК M13mp2 в районе Г (рис. 1). Оказалось, что хотя ни один из этих декануклеотидов по отдельности не достраивается, оба они после совместного отжига с ДНК претерпевают эффективную региоселективную полимеразную достройку (рис. 3). По-видимому, причиной этого является довольно устойчивая вторичная структура ОЦ ДНК: для ее нарушения одного декануклеотида при отжиге оказывается недостаточно, тогда как при гибридизации обоих декануклеотидов, располагающихся встык вдоль цепи ДНК, пикированный эйкозануклеотид (VIII+IX) благодаря кооперативности взаимодействия преодолевает эффект вторичной структуры и удерживается на полинуклеотидной цепи. При этом, судя по включению радиоактивных предшественников при полимеразной достройке, никированный эйкозануклеотид (VIII+IX) в качестве праймера в составе тройного комплекса (VIII+IX)+ДНК близок по эффективности, а следовательно, и по прочности удерживания на одонитевой ДНК к продукту его лигирования.

Действительно, анализ ближайшего окружения соответствующего эйкозануклеотидного сегмента ДНК на наличие элементов вторичной структуры (рис. 1, участок Г) показал, что этот сегмент находится как раз в районе потенциальной шпильки. Из аналогичного рассмотрения районов комплексообразования других праймеров (рис. 1) следует, что шпилька, расположенная вилотную или на расстоянии одного нуклеотидного звена от 3'-конца 10-членного праймера, препятствует его элонгации, тогда как прочность связывания 12-членного праймера уже достаточна, чтобы он мог конкурировать с элементами вторичной структуры ДНК.

Полученные результаты согласуются с данными о возможности использования олигонуклеотидов длиной более 10 звеньев в качестве праймеров в системах на основе ОЦ ДНК-содержащих нитчатых фагов [18] и иллюстрируют рост эффективности включения метки с увеличением длины праймера: так, 14-звенный праймер в 5-6 раз эффективнее 12-звенного, а 20-звенный (даже никированный) — вдвое эффективнее, чем 14-звенный. Такой составной праймер удобен не только благодаря простоте его синтеза. При электрофорезе продуктов элонгации он автоматически укорачивается, в результате чего соответственно возрастает длина читаемой последовательности. Далее, такой праймер может быть

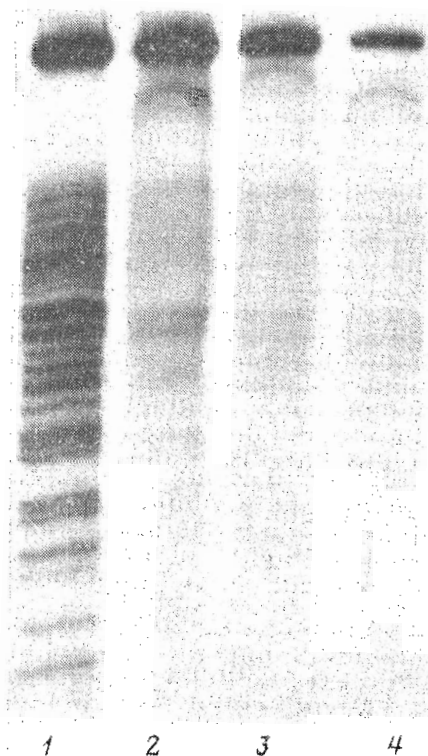


Рис. 2. Электрофорез в 20% ПААГ продуктов ДНК-полимеразной достройки олигонуклеотидов (V) — 1, (IV) — 2, (II) — 3, (III) — 4 на ОЦ ДНК M13mp2 в качестве матрицы (40-кратный избыток праймера) в присутствии 25 мкМ трех dNTP, 0.25 мкМ (2.5 мкКи) $[\alpha\text{-}^{32}\text{P}]\text{dATP}$ и 50 мкМ ddATP, 1 ч, 20° С.

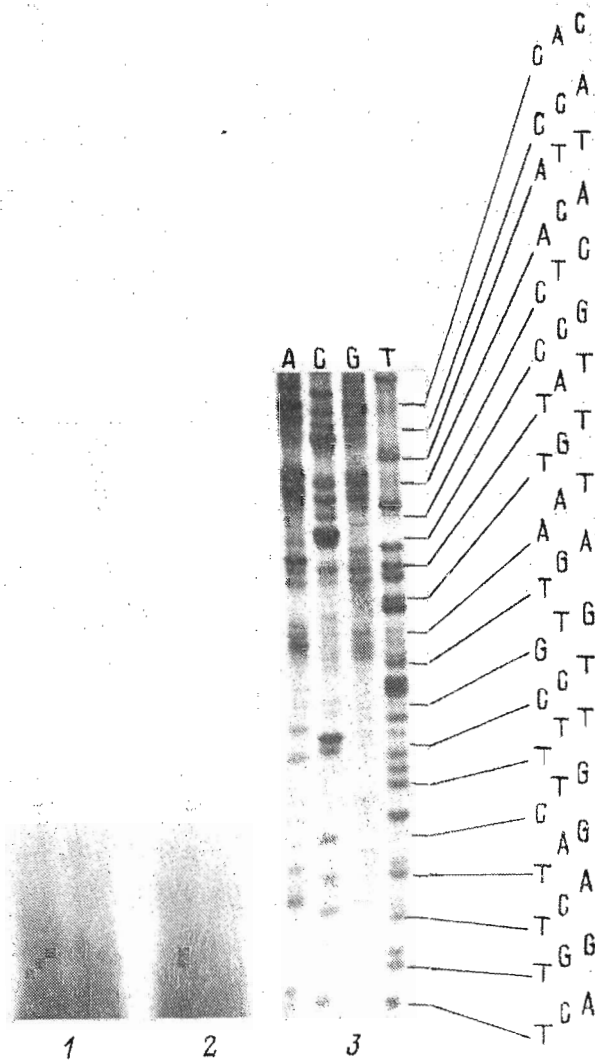


Рис. 3. Электрофорез в 20% ПААГ продуктов ДНК-полимеразной достройки декануклеотидов (VIII) - 1 и (IX) - 2 и составного праймера (VIII+IX) - 3 (см. подпись к рис. 2). В каждом случае использовали следующие ddNTP (слева направо): А, С, G, Т. Последовательность ДНК, изображенная в виде троек, читается справа налево, сверху вниз

использован для получения RF-формы ДНК с брешами контролируемого размера в заданном районе, что важно при исследовании некоторых ферментов нуклеинового обмена (см., например, [19, 20]).

В рамках изучения бактериофагов, содержащих кольцевую одноцепочечную ДНК, значительный интерес представляют данные о физико-химических свойствах и функциональной активности линейной формы этой ДНК и ее фрагментов. Обычный подход к их получению, состоящий в расщеплении двухцепочечной ДНК эндонуклеазами рестрикции и делении цепей путем центрифугирования или электрофореза, не всегда позволяет получить индивидуальные цепи, так как эффективность их разделения зависит от асимметричности распределения оснований между ними. Очевидно, возможен иной путь: получение комплементарных дуплексов с участием одноцепочечной ДНК и олигонуклеотида, включающих один из рестриктных сайтов, и расщепление по этому сайту; комбинируя такие олигонуклеотиды попарно, в общем случае можно вычленивать из одноцепочечной ДНК любой нужный фрагмент. Для проверки подобной возможности мы использовали синтетические олигонуклеотиды (I)

я (V), комплементарные фаговой ДНК и содержащие *MspI*- и *BamHI*-сайты.

Чтобы оценить возможность специфического расщепления ОЦ ДНК по одному рестриктному сайту, мы расщепили комплекс ОЦ ДНК M13mp2 — тетрадекануклеотид (V) по единственному *BamHI*-сайту. Ранее было показано, что хотя сам по себе тетрадекануклеотид (V) расщепляется *BamHI* необычным образом, в составе дуплекса с ОЦ ДНК его расщепление по *BamHI*-сайту протекает нормально [21]. Чтобы убедиться, что при этом расщепляется и ДНК, мы подвергли продукты действия *BamHI* на комплекс ДНК M13mp2 — тетрадекануклеотид (V) дефосфорилированию щелочной фосфатазой, а затем, после депротеинизации, фосфорилировали их действием [γ - ^{32}P]ГАТР и Т4-полинуклеотидкиназы. Полученную смесь разделили электрофорезом в 20% полиакриламидном геле и определили радиоактивность стартовой зоны, содержащей ДНК и свободной от низкомолекулярных веществ; аналогичную последовательность операций провели с одноцепочечной ДНК без добавления 14-членика (V). Оказалось, что радиоактивность полученной ДНК в первом случае в 25 раз выше, чем во втором, что свидетельствует о способности ДНК в составе комплементарного комплекса с олигонуклеотидом специфически расщепляться *BamHI*.

Возможность избирательного расщепления одного из нескольких одинаковых рестриктных сайтов мы оценивали на примере комплекса ОЦ ДНК M13mp2 — додекануклеотид (I) и эндонуклеазы *MspI* (фаговая ДНК содержит 15 *MspI*-сайтов). К сожалению, одноцепочечная ДНК M13mp2 уже сама по себе способна разрезаться *MspI* (по-видимому, вследствие внутримолекулярного спаривания соответствующих тетра-нуклеотидных участков; см. [21]), хотя предпочтение денатурированной ДНК перед нативной, отмечавшееся ранее [22], в наших опытах не подтвердилось. Все же комплекс ОЦ ДНК — додекануклеотид (I) начинает разрезаться несколько раньше, чем сама ОЦ ДНК. Так, при параллельной инкубации с *MspI* ОЦ ДНК и ее комплекса с соединением (I) электрофорез в агарозном геле показал, что в случае комплекса линейная ДНК появляется уже через 40 мин инкубации при 4°С (две полосы в геле); дальнейшая инкубация приводила к появлению серии полос, т. е. расщеплению ДНК по другим *MspI*-сайтам. С другой стороны, в отсутствие олигонуклеотида ОЦ ДНК начинала разрезаться несколько позже, после 1 ч инкубации при 4°С, причем сразу появлялось несколько полос. В этих же условиях продукты эндонуклеазного расщепления меченого додекануклеотида (I) в комплексе с ОЦ ДНК также появлялись гораздо раньше (через 50 мин), чем при действии *MspI* на сам олигонуклеотид (после 2 ч инкубации). Полученные данные свидетельствуют о том, что рестриктаза *MspI* разрезает двухцепочечные структуры, хотя, по-видимому, узнает и одноцепочечные участки и способствует образованию дуплексов с их участием. То, что в комплексе с додекануклеотидом (I) ОЦ ДНК M13mp2 разрезается быстрее, чем вне его, может быть связано с нарушением вторичной структуры ДНК при ее гибридизации с олигонуклеотидом: при этом разрушаются внутримолекулярные дуплексные участки узнавания ферментом и наиболее доступным для действия рестриктазы оказывается участок гибридизации.

Наблюдавшаяся предпочтительность расщепления ОЦ ДНК в составе комплекса с олигонуклеотидом оказалась недостаточной для ее избирательного расщепления по одному из нескольких рестриктных сайтов. Очевидно, для направленной фрагментации ОЦ ДНК с помощью олигонуклеотидных подложек более реально использование редко щепящих рестриктаз.

Экспериментальная часть

В работе использовали сверхтонкие сефадексы G-50 и G-75 (Pharmacia); [γ - ^{32}P]ГАТР, [α - ^{32}P]дНТР (400–3000 Кп/ммоль) (Amersham); акриламид, метиленисакриламид, тетраметилэтилендиамин и персульфат аммония (Reanal); нитроцеллюлозные фильтры (Schleicher und Schüll); DEAE-целлюлозу MN300 и целлюлозу MN300 (Serva), агарозу (Bio-Rad); триптон, дрожжевой экстракт, агар (Difco). Куль-

тура фага и хозяина фага M13mp2 были получены от Дж. Мессинга (Дэвис, Калифорния), эндонуклеазы рестрикции *VamHI* и *MspI* — из НПО «Фермент» (Вильнюс), 2',3'-дидезоксирибонуклеозидтрифосфаты ddNTP — из НИОХ СО АН СССР (Новосибирск), ДНК-полимераза I *E. coli* (большой фрагмент) предоставлена А. И. Гуревичем (ИБХ, Москва). Синтетические олигонуклеотиды получены и проанализированы, как описано ранее [21].

ОЦ и РФ ДНК фага M13mp2 получали, как описано в работе [23]. Олигонуклеотиды метили по 5'-концу в объеме 25–30 мкл в буфере, содержащем 50 мМ трис-HCl (pH 9,0), 10 мМ MgCl₂, 5 мМ дитиотреит, двухкратный молярный избыток [γ -³²P]rATP и 1 ед. акт. T4-полинуклеотидкиназы, 1 ч при 37° С и выделяли гель-фильтрацией на сефадексе G-50.

Гибридизацию ОЦ ДНК (1 имоль) с избытком меченого додекануклеотида (I) проводили в 25 мкл буфера, содержащего 10 мМ трис-HCl (pH 7,6), 10 мМ MgCl₂ и требуемое количество NaCl (таблица). Смесь инкубировали 20 мин при 60° С, затем 30 мин при 37° С и охлаждали до температуры комплексообразования (4, 22 или 28° С). От избытка олигонуклеотида комплекс отделяли гель-фильтрацией на сефадексе G-75 в гибридизационном буфере. Элюат фракционировали по поглощению при 254 нм (УФ-анализатор UVD 254 VD CSAV) и по радиоактивности (по Черенкову, эффективность счета 56%, или в 1 мкл аликвоте из каждой фракции на DEAE-бумаге (1×1 см) в толуольном сцинтиляторе, эффективность счета 97%; счетчик Mark 2, Nuclear Chicago). Степень гибридизации определяли как отношение радиоактивности во фракции ДНК к радиоактивности, ожидаемой при количественной гибрилизации.

Полимеразную достройку комплекса проводили в 15 мкл буфера, содержащего 30 мМ трис-HCl (pH 7,6), 5 мМ NaCl, 5 мМ MgCl₂, 0,5 мМ дитиотреит и 2–33-кратный молярный избыток предшественников. Смесь инкубировали с большим фрагментом ДНК-полимеразы I *E. coli* (0,5 ед. акт.) 15–60 мин при 20° С, разделяли в 20% полиакриламидном геле и радиоавтографировали. Для получения структурно-аналитических гелей в инкубационные смеси добавляли необходимые количества ddNTP в качестве терминаторов элонгации (см. [17]). В случае полимеразной достройки спитого на ДНК эйкозануклеотида (VIII:IX) оба 5'-фосфорилированных додекануклеотида (VIII) и (IX) предварительно подвергали отжигу с ОЦ ДНК и действию лигазы при 4° С в течение 16 ч.

Гибридизацию ОЦ ДНК M13mp2 с меченым додекануклеотидом (I) на нитроцеллюлозных фильтрах проводили, как описано в работе [24].

Гибридизацию и разрезание эндонуклеазой *MspI* ОЦ ДНК M13mp2 (2,5 мкг) и ее комплекса с немеченым додекануклеотидом (I) (30–50-кратный молярный избыток) проводили в 25 мкл буфера, содержащего 10 мМ трис-HCl (pH 7,4), 10 мМ MgCl₂, 6 мМ KCl и 1 мМ дитиотреит. После отжига охлаждали до 4° С, добавляли 2 ед. акт. фермента и продолжали инкубацию при той же температуре. Продукты рестрикции разделяли электрофорезом в 1% геле агарозы и обнаруживали в УФ-свете после окрашивания бромистым этидием. Гибридизацию ОЦ ДНК с меченым додекануклеотидом (I) и расщепление полученного комплекса проводили так же, но в меньшем объеме (10 мкл). Продукты разделяли гомохроматографией в тонком слое DEAE-целлюлозы в гомосмеси VI [25] или электрофорезом в полиакриламидном геле (20 и 30%).

Расщепление эндонуклеазой VamHI ОЦ ДНК M13mp2 и комплекса ОЦ ДНК — тетрадекануклеотид (V). ДНК и комплекс (2,5 мкг) обрабатывали по отдельности 2 ед. акт. рестриктазы *VamHI* в 15 мкл буфера, содержащего 10 мМ трис-HCl (pH 7,4), 10 мМ MgCl₂, 6 мМ β-меркаптоэтанол, 50 мМ NaCl, 3 ч при 20° С. Реакционную смесь обрабатывали щелочной фосфатазой, депротенизировали фенолом, дважды пересаждали из спирта. 5'-³²P-фосфорилировали, очищали от низкомолекулярных продуктов электрофорезом в 20% ПААГ и радиоактивность стартовой зоны, содержащей ДНК, определяли в толуольном сцинтиляторе. В случае комплекса и самой ДНК найденные значения радиоактивности соответствовали 85 000 и 3500 имп/мин.

Авторы благодарны И. В. Артемьеву за предоставление программ анализа вторичной структуры ДНК и помощь при работе на ЭВМ и Л. Л. Каюшину за олигонуклеотиды (VIII) и (IX).

ЛИТЕРАТУРА

1. Gillam Sh., Smith M. *Gene*, 1979, v. 8, № 1, p. 81–106.
2. Gillam Sh., Jahnke P., Astell C., Phillips S., Hutchison C. A. III, Smith M. *Nucl. Acids Res.*, 1979, v. 6, № 9, p. 2973–2985.
3. Wallace R. B., Johnson M. J., Suggs S. V., Miyoshi K., Bhatt R., Itakura R. *Gene*, 1981, v. 16, № 1–3, p. 21–26.
4. Wallace R. B., Schold M., Johnson M. J., Dembek P., Itakura K. *Nucl. Acids Res.*, 1981, v. 9, № 15, p. 3647–3656.
5. Baas P. D., Teertstra W. R., van Mansfeld A. D. M., Jansz H. S., van der Marel G. A., Veeneman G. H., van Boom J. H. *J. Mol. Biol.*, 1981, v. 152, № 4, p. 615–639.
6. Simons G. F. M., Veeneman G. H., Konings R. N. H., van Boom J. H., Schoenmakers J. G. G. *Nucl. Acids Res.*, 1982, v. 10, № 3, p. 821–832.
7. Miyada C. G., Soberon X., Itakura K., Wilcox G. *Gene*, 1982, v. 17, № 2, p. 167–177.
8. Lau P. C. K., Spencer J. H. *Bioscience Reports*, 1982, v. 2, № 8, p. 687–696.
9. Kieny M. P., Lathe R., Lecocq J. P. *Gene*, 1983, v. 26, № 1, p. 91–99.
10. Wang A., Lu S.-D., Mark D. F. *Science*, 1984, v. 224, № 4656, p. 1431–1433.
11. Szybalski W. *Gene*, 1985, v. 40, № 2/3, p. 164–173.
12. Podhajski A. J., Szybalski W. *Gene*, 1985, v. 40, № 2/3, p. 175–182.
13. Chu B. C. F., Orgel D. E. *Proc. Nat. Acad. Sci. USA*, 1985, v. 82, № 4, p. 963–967.
14. Бросалова Е. Б., Власов В. В., Кутявин И. В., Мамаев С. В., Плернев А. Г., Подыминский М. А. Докл. АН СССР, 1985, т. 285, № 6, с. 1475–1478.
15. Gronenborn B., Messing J. *Nature*, 1978, v. 272, № 5632, p. 375–377.
16. Griffith J. D., Hester S., el Saidi S. *J. Mol. Biol.*, 1982, v. 157, № 2, p. 321–330.
17. M13 Cloning 'dideoxy' sequencing. Manual, 1980, BRL Inc., p. 1–49.
18. Zoller M. J., Smith M. *Meth. Enzymol.*, 1983, v. 100, p. 468–500.
19. Courage-Tebbe U., Kemper B. *Biochim. et biophys. acta*, 1982, v. 697, № 1, p. 1–5.
20. Cassuto E., Howard-Flanders P. *Nucl. Acids Res.*, 1986, v. 14, № 3, p. 1149–1157.
21. Тюрева Г. Р., Виноградов С. В., Берлин Ю. А. *Биоорган. химия*, 1986, т. 12, № 5, с. 640–646.
22. Yoo O. J., Agarwal K. L. *J. Biol. Chem.*, 1980, v. 255, № 22, p. 10559–10562.
23. Messing J. In: Protocol for the application of the single-stranded DNA phage M13mp2 as a cloning vehicle, 1979, University of California at Davis, p. 1–21.
24. Wallace R. B., Shaffer J., Murphy R. F., Bonner J., Hirose T., Itakura K. *Nucl. Acids Res.*, 1979, v. 6, № 15, p. 3543–3552.
25. Jay E., Bambara R., Padmanabhan K., Wu R. *Nucl. Acids Res.*, 1974, v. 1, № 3, p. 331–340.

Поступила в редакцию
2.VI.1986

COMPLEXES OF THE PHAGE SINGLE-STRANDED DNA WITH SYNTHETIC OLIGODEOXYNUCLEOTIDES AND THEIR INTERACTION WITH DNA POLYMERASE AND RESTRICTION ENDONUCLEASES

TITEVA G. R., VINOGRADOV S. V., BERLIN Yu. A.

*M. M. Shemyakin Institute of Bioorganic Chemistry,
Academy of Sciences of the USSR, Moscow*

Hybridization of synthetic oligodeoxynucleotides with single-stranded phage M13mp2 DNA has been studied in terms of temperature, ionic strength, oligonucleotide molar excess and chain length, and DNA secondary structure. Combination of two decadeoxynucleotides corresponding to a nicked eicosamer (composite primer) was found to be efficient in the template-directed DNA polymerase-catalyzed chain elongation, where both decamers separately failed. Circular SS DNA was specifically linearized by BamHI cleavage of a SS DNA – tetradecadeoxynucleotide duplex.